

# 火炮膛綫制造

A. C. 塔普敦 著



國防工業出版社

PDG

# 火炮膛綫制造

A.C. 塔普敦著  
劉國祥譯  
王克冲校



國防工業出版社



# 目 录

## I. 炮膛的构造

§ 1. 药室的构造 .....	5
§ 2. 炮身膛线部的构造 .....	10
§ 3. 俄国的第一批膛线炮 .....	25
§ 4. 复习题 .....	29

## II. 拉线机床

§ 1. 床身 .....	31
§ 2. 安装和固定炮身的机构 .....	33
§ 3. 机床刀架和刀杆 .....	36
§ 4. 靠模的构造 .....	38
§ 5. 带动装置、变速箱及丝杠 .....	43
§ 6. 操纵机构 .....	45
§ 7. 拉线机床的传动系统 .....	45
§ 8. 机床各机构计算 .....	49
§ 9. 勃尤塔斯特拉线机床 .....	53
§ 10. 格林沃特—贝德里拉线机床 .....	57
§ 11. 纳井里斯拉线机床 .....	62
§ 12. 复习题 .....	72

## III. 拉制膛线用的刀具

§ 1. 双刃拉线刀头 .....	75
§ 2. 四刃拉线刀头 .....	78
§ 3. 带起落刀座的四刃拉线刀头 .....	83
§ 4. 八刃拉线刀头 .....	89
§ 5. 瓦茵特式拉线刀头 .....	92
§ 6. 諾金格姆工厂的双刃拉线刀头 .....	96
§ 7. 关于拉线刀头的一般结论 .....	97
§ 8. 刀具几何形状的选择 .....	98
§ 9. 刀具的结构 .....	105
§ 10. 复习题 .....	110

#### IV. 机床和拉线刀头的調整

§ 1. 机床各机构的調整和檢查.....	111
§ 2. 靠模裝定位置的檢查.....	113
§ 3. 炮身和拉線刀头裝定位置的檢查.....	119
§ 4. 复习題.....	121

#### V. 切制膛線的工艺过程

§ 1. 按拉削法切制膛線.....	122
§ 2. 冷却液的选择.....	127
§ 3. 切削用量的选择.....	129
§ 4. 机动时间和单件时间的确定.....	131
§ 5. 炮膛的抛光与搪磨.....	134
§ 6. 炮膛检验.....	138
§ 7. 用推切法切制膛線.....	145
§ 8. 膛線拉削.....	146
§ 9. 几种制造膛線的方法.....	147
銑削膛線.....	147
切制圓錐炮膛的膛線.....	148
切制变寬度膛線.....	149
用刀具单面配置的刀头切制膛線.....	150
§ 10. 膛線的手工加工.....	151
§ 11. 复习題.....	151

#### VI. 膛線的疵病

§ 1. 冶金性质的疵病.....	152
§ 2. 在机械车间里产生的疵病.....	152
§ 3. 炮身射击試驗时产生的疵病.....	166
§ 4. 复习題.....	169
参考文献.....	170

# I. 炮膛的构造

炮膛有以下諸基本部分：药室、膛线部和门室。在对炮身使用及加工和检验方法的技术要求方面，药室和炮身膛线部的加工过程有许多相同之处。膛线的质量决定于制膛线前的准备加工，亦即决定于药室和炮膛光滑圆筒部最后加工的好坏。因此，设计药室和膛线部机械加工规程的工艺师必须熟悉炮膛的构造。

## § 1. 药室的构造

药室的构造随装填方法的不同而异：有定装式的药室，药筒分装式药室和药包装填式药室。药室的名义尺寸，决定于在所取装填密度下的容积，和适于该口径的药筒尺寸。

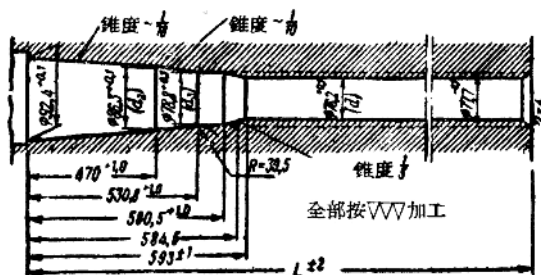


图 1 定装式药室的构造

图 1～4 及图 57 所示为现今所装备之火炮药室的构造，其中并注明了药室的主要尺寸和制造公差。

定装式的药室按形状(轮廓)分有以下数段：1) 基本段——紧塞圆锥段，2) 过渡圆锥段，它位于基本段与容纳药筒口的圆筒段之间，3) 膛线始端的坡膛(锥段)。药筒分装式药室(如图 3 所示)没有过渡圆锥段。

基本(紧塞)圆锥段必须满足以下诸技术要求：

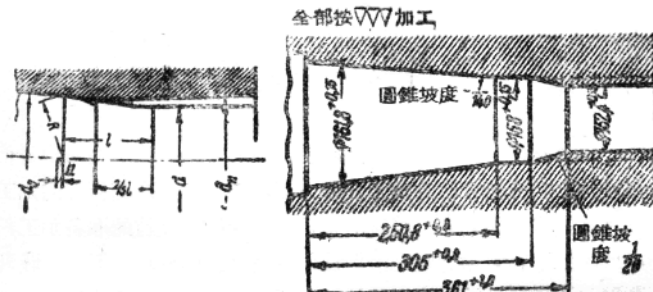


图 2 定装式药室的坡墙的构造

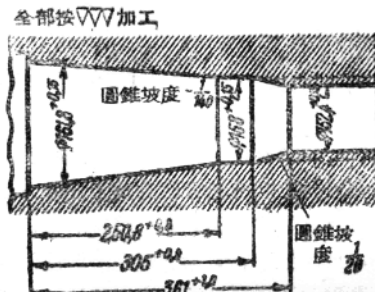


图 3 药筒分装式药室的构造

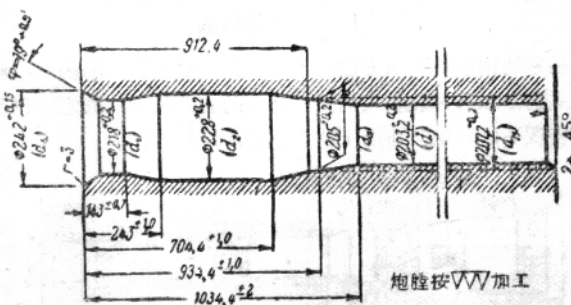


图 4 1931年式203.2公厘榴弹炮药包装填式药室的构造

- 1) 保証药筒壁在发射时完全貼紧药室表面，和良好地紧塞火药气体；欲达此目的，該圓錐段的尺寸公差应适当，其表面应光洁；
- 2) 保証发射后抽筒方便，药筒不发生变形（縱、横裂縫和裂口）；欲达此目的，該圓錐段的錐度应适当，关門后药筒壁应紧贴药室表面；
- 3) 保証药室有容纳装药所必需的容积；此时應該注意到，圆錐段的坡度过大，会使炮身外徑尺寸增大，而且不利于装填（分装时的送彈）。

鑒于上述要求，通常保証基本（紧塞）圆錐段有  $\frac{1}{70}$  到  $\frac{1}{150}$

的錐度。最常見的錐度為 $\frac{1}{80}$ 到 $\frac{1}{100}$ 。1910~1930年式122公厘榴彈炮上該錐度等於 $\frac{1}{150}$ 。1910年式107公厘加农炮上該錐度等於 $\frac{1}{100}$ 。

文献中提到，德国炮兵中（1914~1918年期間）有些火炮的药室是圓筒形的。我国炮兵中，長為60倍口徑的4吋海軍炮的药室圓錐段的斜度等於 $\frac{1}{400}$ ，即接近于圓筒形。

药室圓錐段的坡度小，炮身外徑尺寸亦小，炮身强度及装填条件好，但不利于发射后的抽筒。

定裝式药室，其下一个圓錐段（过渡圓錐段）作得較陡，錐度為 $\frac{1}{10}$ 到 $\frac{1}{20}$ 。此处的錐度是受药筒制造工艺的制约的，这点必須經常加以考慮。

由图3所示，药筒分裝式药室沒有过渡圓錐段。

在采用定裝彈和药筒分裝彈的情形下，容納药筒口的药室圓筒段的長度隨彈尾部和药筒口的長度不同為 $0.3d$ ~ $0.5d$ 。在決定這圓筒段的直徑時，要考慮到药筒口的外徑、彈帶的外徑、膛線的深度以及坡體的錐度。

取彈帶的直徑：

由  $d_n = d + 2.36t$ ,

到  $d_n = d + 2.5t$ ,

式中  $d_n$ ——彈帶直徑的名義尺寸；

$d$ ——至阳線的炮膛直徑名義尺寸（炮身口徑）；

$t$ ——膛線深度。

彈帶直徑的加工公差，應按四級精度滑合座（C<sub>4</sub>）來規定。彈丸定心部的加工公差，对于76.2取 $76.2^{+0.10}_{-0.22}$ ，而对于152.4，则取 $152.4^{+0.10}_{-0.22}$ 。对于定裝式炮彈，彈尾部的直徑應比口徑小1公厘。

图2所示为定裝式及药筒分裝式药室的坡體。此坡體的錐度

为 $\frac{1}{5} \sim \frac{1}{10}$ 。对于大多数火炮，都取如下的条件：膛线起端占坡膛长的三分之二，亦即如果此圆锥段长为 $l$ ，则膛线仅占 $l$ 的三分之二。

坡膛的锥度，通常按现有火炮的数据来取定，因为锥度对火炮寿命有何意义这一问题，至今尚无一致的意见。一般认为，陡的坡膛能降低膛线起端阳线的强度；对炮身使用情形的观察证实了这种说法。

坡膛圆锥段的全部尺寸均须适当选择，务使弹带前缘能抵于此锥段的光滑部。弹带外径应大于至阴线的炮膛直径（指新炮身而言）。

药包装填式药室的坡膛由两个圆锥形面构成：第一个面是定位坡（过渡坡）的延续部分，锥度为 $\frac{1}{10} \sim \frac{1}{15}$ ，第二个面的锥度通常为 $\frac{1}{30} \sim \frac{1}{50}$ 。

无论药室前部配合面的特点如何，在药包装填式药室中，弹带的前缘都应抵于光滑面，但无论如何都不得伸过膛线起点。

用几何方法将圆筒形面与圆锥形面连接起来，则得出一个两面角，不过是很钝的钝角。生产中此角代之以圆弧，其半径比该断面的半径大 $0.3 \sim 0.4$ 公厘。显然，此半径的弧心位于角的二等分线上。

决定定装式和药筒分装式药室各尺寸公差的条件是保证在关闭状态时药筒与药室表面间最小和最大间隙有正确的尺寸，并且药筒不产生残余变形。

间隙大，会引起药筒变形，甚至引起纵、横裂缝（裂口）；而间隙小，又会使关闭困难。发射时药筒须紧贴药室表面，而且发射后不应有残余变形。仅仅在用有磨损（烧蚀）的炮身射击时，才允许药筒圆筒段（口部）的直径增大。在给已用过的药筒重装弹丸时，将药筒收口，即能消除这一缺陷。

在药筒口处，药室与药筒间的最小直径间隙可达 $0.20 \sim 0.25$

公厘，最大直徑間隙可达0.45~0.9公厘。在药筒凸緣处，最小直徑間隙可为0.15~0.2公厘，最大直徑間隙可为0.6到1公厘。于是，药室直徑尺寸的公差为0.1~0.2公厘；其中大的极限可适用于152.4公厘口徑的炮身。

长度尺寸的公差，应根据正常的送彈条件及获得所需装填密度的条件来取定。公差值为+0.6~1.5公厘（小的极限适用于小口徑药室）。

在现有的工作图上，药室各段的錐度尚无統一的表示法。对于多数火炮，錐度用圓錐段的直徑差与其长度之比的形式来表示，亦即  $V = \frac{D-d}{l}$ 。錐頂角( $2\alpha$ )以度数表示，其与錐度的关系

$$\text{为 } 2 \operatorname{tg} \alpha = \frac{D-d}{l}.$$

某些火炮，用圓錐段半徑差与其长度之比来表示圓錐段的坡度。有时在图上会遇到这样的錯誤：說明中注的是錐度，可是数字却与圓錐段的坡度相符。这在設計专用工具时能引起錯誤。

在药包装壠式药室（图4）中，用巴日式紧塞具閉气，同时，炮門应是螺式的。該紧塞具由菌狀杆、紧塞垫（石棉65~70%，工业用羊油30~25%，蜂腊5%）和鋼質切口环构成。在火药气体压力对菌狀杆头作用时，紧塞垫被压缩，而以徑向扩張，并与鋼环一起紧貼紧塞圓錐的表面，这样就閉塞住了火药气体向炮門的噴逸。

紧塞具作用的可靠性，是由炮身紧塞圓錐段与炮門紧塞具零件的接触面的正确加工来保証的。因为紧塞垫和鋼环必須紧貼于整个表面，故取定炮身圓錐面的加工公差时，应保証获得較高的加工精度。

圓錐段直徑尺寸的偏差，可在紧塞时（直徑的增大）得到补偿，但圓錐段加工的不精确度，在紧塞时不能补偿。考慮到这一点，在图上应注明：此圓錐的正的加工公差不大于 $s'(\varphi^{+0.5'})$ ，圓錐的直徑公差为0.15~0.2公厘。

在現有的炮身上，緊塞斜面的錐頂角 $\varphi$ 的名義值对于加农炮取 $15^\circ$ 到 $18^\circ 30'$ ，对于榴彈炮取 $18^\circ$ 到 $23^\circ$ 。根据向药室自由送弹的条件决定药室頸的直徑 $d_1$ 。为了减小火药气体对螺門的压力，应采用反圓錐。药室頸的长度不得超过 $0.5d$ 。此頸的直徑应滿足下面的关系式：

$$\frac{d_1}{d} = 1.05 \text{ 或 } d_1 = d + 5t, \quad (1)$$

式中  $d_1$ ——药室頸的直徑；

$d$ ——至阳線的炮膛直徑；

$t$ ——膛綫深度。

必須指出，对某些近代火炮來說，当把膛綫深度增至 $0.02d$ 时，关系式  $d_1 = d + 5t$  比前一个公式  $d_1 = 1.05d$  更为正确。

一般取反圓錐的长度为 $0.5d \sim 0.6d$ 。此时，其錐度应根据药室圆筒部的直徑来决定，通常为 $\frac{1}{5} \sim \frac{1}{10}$ 。

药室圆筒部的直徑应滿足下面的关系式：

$$d_2 = 1.15d \sim 1.23d. \quad (2)$$

坡膛前圓錐段的长度为 $0.6d$ 到 $d$ 。

炮膛药室表面的光洁度应相当于三个三角形加工符号(▽▽▽)。

## § 2. 炮身體綫部的构造

在我国火炮中，采用右旋膛綫，亦即彈丸沿炮膛运动时順时針方向旋转。

图 5 所示为膛綫部展开的平面图。

炮膛軸綫与膛綫方向构成的角 $\alpha$ ，是膛綫綫度的表征。直綫 $BE$ 是等齐綫度膛綫的展开图。

曲綫 $BF$ 为展开的漸速綫度的膛綫；在此情形下，角 $\alpha$ 是变量。

在 1867 年式 152.4 公厘 (6 吋) 加农炮上，膛綫进程长为 40 倍口徑，綫角相当于 $4^\circ 30'$ 。

膛线进程长或膛线距，通常用火炮口徑的倍数來表示，并可用下式求出：

$$S = \frac{\pi d}{\operatorname{tg} \alpha} \quad (3)$$

对于加农炮，常取膛线繩角为 $6^\circ \sim 8^\circ$ ，对于榴彈炮为 $7^\circ 30' \sim 9^\circ$ 。

漸速膛线的繩角在膛线起端为 $3^\circ \sim 4^\circ$ 。有些火炮，在其 $\frac{2}{7} L_n$ 的一段上（ $L_n$ ——炮身膛线部长），繩角是等齐的。以下的膛线即变为漸速繩度的，并达到 $9^\circ 30' \sim 10^\circ$ 的最大繩度。炮身膛线部有漸速繩度，图5 展开成平面的膛线的那一段的长度，平均等于 $\frac{4}{7} L_n$ 。

在炮口部，长为 $\frac{1}{7} L_n$ 的段上，膛线仍为等齐的，其繩角等于漸速膛线的最大繩角。据外国文献中的数据，漸速膛线的最大繩角达 $12^\circ$ 。

小的膛线繩角在 $\frac{2}{7} L_n$ 长的一段上（剛好在火药气体压力最大的那一段上），可将膛线导轉侧上的压力降低25%，从而提高附綫的强度。逐渐增大繩度，能弥补膛线开始处繩度小的缺点。这是漸速繩度膛线的优点。

确定膛线繩角公差的根据是：拉线机床模的制造誤差，拉膛线时使拉线刀头回轉的整个傳动装置运动的准确性，用檢查拉线机床的方法測得繩度的測量精确度，檢查膛线繩度时測量仪器示度的精确性。

用光学星形仪測量膛线繩度，可达到 $\pm 6'$ 的精确度。拉线机床很容易保証膛线繩度达到 $\pm 6'$ 的精确度。用这样的精确度检查机床各机构是不会有什么困难的。在不同生产条件下和不同时期制成的火炮膛线的繩角的誤差不超过 $\pm 10'$ 。因此，对于所有火炮，在炮身膛线部全长上膛线繩角的公差均不应超过 $\pm 10'$ 。

在个别情形下，可給予更高的精度，但炮身的使用条件无此要求。保持各段間繩度不变是很重要的，但这点在炮身图纸上和

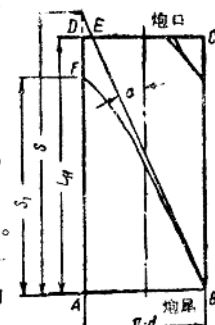


图5 展开成平面的  
膛线部

技术規程中均未作規定。

炮身的使用年限，主要决定于材料的强度和膛綫磨損的时间。在正常的炮身使用条件下，阳綫的磨損和剝落先由药室开始，亦即由膛綫起端开始，然后逐渐向炮口断面方向发展。起初出現一种由方向不同之細微裂縫形成的燒蝕网紋。这网紋大約在发射头50发后即可用肉眼觀察出来。此后形成裂縫，阳綫被磨平，最后崩落。炮身使用期限接近終了时，出現明显的燒蝕网紋，膛綫开始处的阳綫完全被磨平，崩落扩展到一倍口徑长；这种情形見图6①。

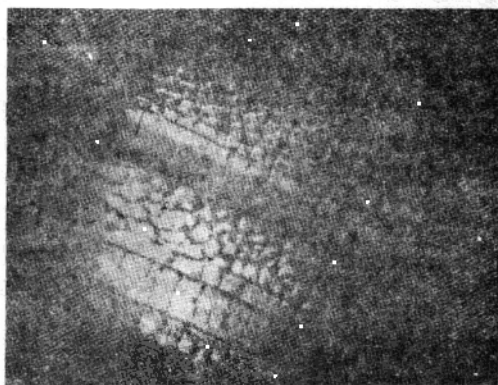


图 6 明显的燒蝕网紋

射击实验后，对已磨损炮身及阳綫已崩落炮身的研究表明，阳綫底部的裂紋确实是先从导轉側开始的。

图 7 所示为炮口部阳綫剝落的情形。这样的現象是罕見的，其产生原因是射击条件不正常。图示現象，是在冬夜射击，又未将炮膛內的濃厚的涂油擦淨而产生的。由图 7 可看出，阳綫

① 德國作者师文宁克 (Швентик) 曾武斷說，阳綫底部的裂紋是先从其非导轉側开始的。这种論斷是不对的，它已被 A. Ф. 高劳溫 (Головин) 教授的研究結果駁倒了。

剥落是先从导轉側开始的。1938年用203.2公厘榴彈炮射击时曾出現过类似的情形，有几条阳綫在約1.2公尺的长度上剥落了。阳綫剥落的起端位于炮身中部；射击后脱落了的阳綫仍留于膛內，其形状如同偶然掉下来的金屬絲的小块。

阳綫的尺寸及其强度由計算来确定。在膛內火药气体动力作用下彈丸沿炮膛运动：

$$P_{\text{eff}} = P_x \frac{\pi d^2}{4} \text{ (公斤)} , \quad (4)$$

式中  $P_x$ ——在所研究瞬间彈丸底上的火药气体压力  
(公斤/公分<sup>2</sup>)；

$d$ ——至阳綫的炮膛直徑(口徑)(公分)。

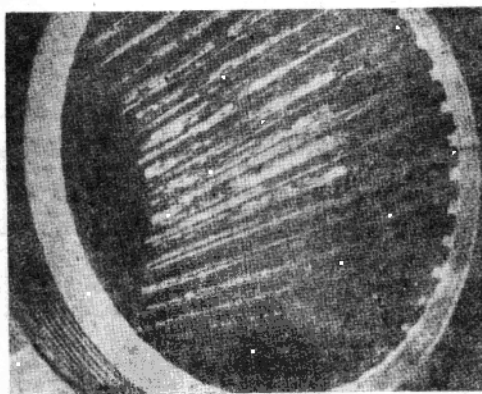


图 7 炮口部阳綫剥落的情形

若为等齐纏度膛綫，则彈帶对阳綫导轉側的压力为：

$$N = \frac{\lambda}{n} P_{\text{eff}} \operatorname{tg} \alpha \text{ (公斤)} , \quad (5)$$

式中  $n$ ——膛綫數；

$\alpha$ ——膛綫纏角(度)；

$\lambda$ ——彈形系数，平均取为0.53~0.63。

漸速纏度膛線用拋物線二次方程來決定：

$$y = kx^2, \quad (6)$$

式中  $k$ ——拋物線的參數。

圖 8 所示為 45 倍口徑長的 152.4 公厘火炮膛線部的展開圖。直線  $OX$ ——炮膛的母線，點  $A$ ——起自藥室坡膛的膛線起點，初纏角  $\alpha_1 = 2^\circ 30'$ 。在膛線長  $AB = L = 4572$  公厘的一段上，膛線的纏度是變量，最大纏角在點  $B$ ，等於  $\alpha_2 = 6^\circ$ 。在長 925 公厘的炮身膛線部的一段  $BC$  上，膛線的纏度是常量，其纏角  $\alpha_3 = 6^\circ$ 。拋物線的頂點距離膛線起點  $OA = x_1 = 3250$  公厘（按母線  $OX$  計）。

如果取拋物線的頂點  $O$  為坐標原點，取切於其頂點的母線  $OX$  為軸  $X$ ，取垂直於  $OX$  的直線為縱坐標軸  $OY$ ，則拋物線（ $AB$  段上展開的膛線）方程為：

$$y = kx^2.$$

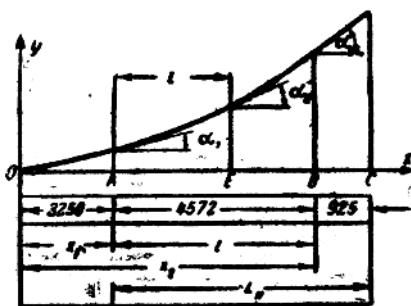


圖 8 152.4 公厘火炮膛線部的展開圖

$y$  對  $x$  的導函數為：

$$\operatorname{tg} \alpha = 2kx. \quad (7)$$

用此公式可容易地求出位於膛線漸速纏度段上任意一點的曲線的傾角。式中  $x$ ——由拋物線坐標原點到任意取定的點  $E$  的、沿母線的長度。

顯然，當  $x = x_1$  時

$$\operatorname{tg} \alpha_1 = 2kx_1.$$

當  $x = x_2$  時，得

$$\operatorname{tg} \alpha_2 = 2kx_2.$$

由图8可看出：

$$x_2 - x_1 = L_0$$

于是可写成：

$$\operatorname{tg} \alpha_2 - \operatorname{tg} \alpha_1 = 2 k (x_2 - x_1) = 2 k L_0$$

所以抛物线的参数为：

$$k = -\frac{\operatorname{tg} \alpha_2 - \operatorname{tg} \alpha_1}{2 L_0} \quad (8)$$

当  $\operatorname{tg} \alpha_2 = 0.105$ ,  $\operatorname{tg} \alpha_1 = 0.044$ ,  $L = 4572$  公厘时, 抛物线的参数为:

$$k = 0.000006718$$

知道了抛物线的参数, 则不难决定坐标原点  $O_1$ , 求出  $x_1$  的值:

$$x_1 = \frac{\operatorname{tg} \alpha_1}{2 k} = \frac{L \operatorname{tg} \alpha_1}{\operatorname{tg} \alpha_2 - \operatorname{tg} \alpha_1}$$

知道了抛物线的参数  $k$  及渐速螺旋度膛线的初螺旋角  $\alpha_1$ , 并给定任意点  $E$ , 设其对膛线起点的距离为  $l$ , 则不难求出  $\operatorname{tg} \alpha_E$ :

$$\operatorname{tg} \alpha_E = 2 k l + \operatorname{tg} \alpha_1 \quad (9)$$

知道了纵坐标  $y$ 、抛物线的参数  $k$  及位于  $l$  段曲线上任意一点的渐速螺旋度的倾角  $\alpha_E$ , 即可获得所有制造靠模所需的和检查制造渐速螺旋度膛线的机床所需的计算数据。

渐速螺旋度膛线导转侧上的压力

$$N_1 = \frac{\lambda}{n} (P_{\text{on}} \operatorname{tg} \alpha_E + k m v^2) \quad (10)$$

式中  $m$ ——弹丸的质量;

$v$ ——弹丸在膛内所研究断面上运动的速度。

弹丸沿膛线运动时的阻力

$$F = N f, \quad (11)$$

式中  $f$ ——钢弹带对膛线的摩擦系数, 等于 0.15。

阳线的抗剪强度可用下面的关系式来计算：

$$\sigma_{sp} = \frac{N}{h \cdot c}, \quad (12)$$

式中  $\sigma_{sp}$ ——剪切应力（公斤/公分<sup>2</sup>）；

$h$ ——沿弹丸轴向的弹带宽；对于122公厘榴弹炮的弹丸，

$h = 1.905$ 公分；

$c$ ——阳线宽（公分）。

阳线的抗弯强度可用下面的公式来计算：

$$\sigma_{bar} = \frac{M_{bar}}{W}, \quad (13)$$

式中  $\sigma_{bar}$ ——弯曲应力（公斤/公分<sup>2</sup>）；

$M_{bar} = Nt$ ——弯曲力矩，等于膛线深度（公分）与导转侧上压力的乘积；

$W = \frac{h \cdot c^2}{6}$ ——断面系数（公分<sup>3</sup>）；对于122公厘榴弹炮，

$W = 2.48$ 公分<sup>3</sup>。

阳线的挤压强度最好也加以检查。

阳线的宽度应满足下面的关系：

$$3c > b > 2c, \quad (14)$$

式中  $b$ ——阴线宽（公厘）；

$c$ ——阳线宽（公厘）。

近来，对于许多新火炮来说，此关系已不实用了，而可将其改为：

$$2.5c > b > 1.5c. \quad (14a)$$

在此情况下，为了保持阳线的强度有增大阴线深度的倾向，这就会使阳线宽度增大。

英国94公厘高射炮之阴线宽  $b = 6.026$ 公厘，阳线宽  $c = 3.52$ 公厘，阴线深  $t = 1.02$ 公厘，膛线数  $n = 28$ 。表1中的数据证明，有些新火炮的阳线宽度显著增大了。